

# Un modèle de réplication d'un ADN

Aimé LACHAL

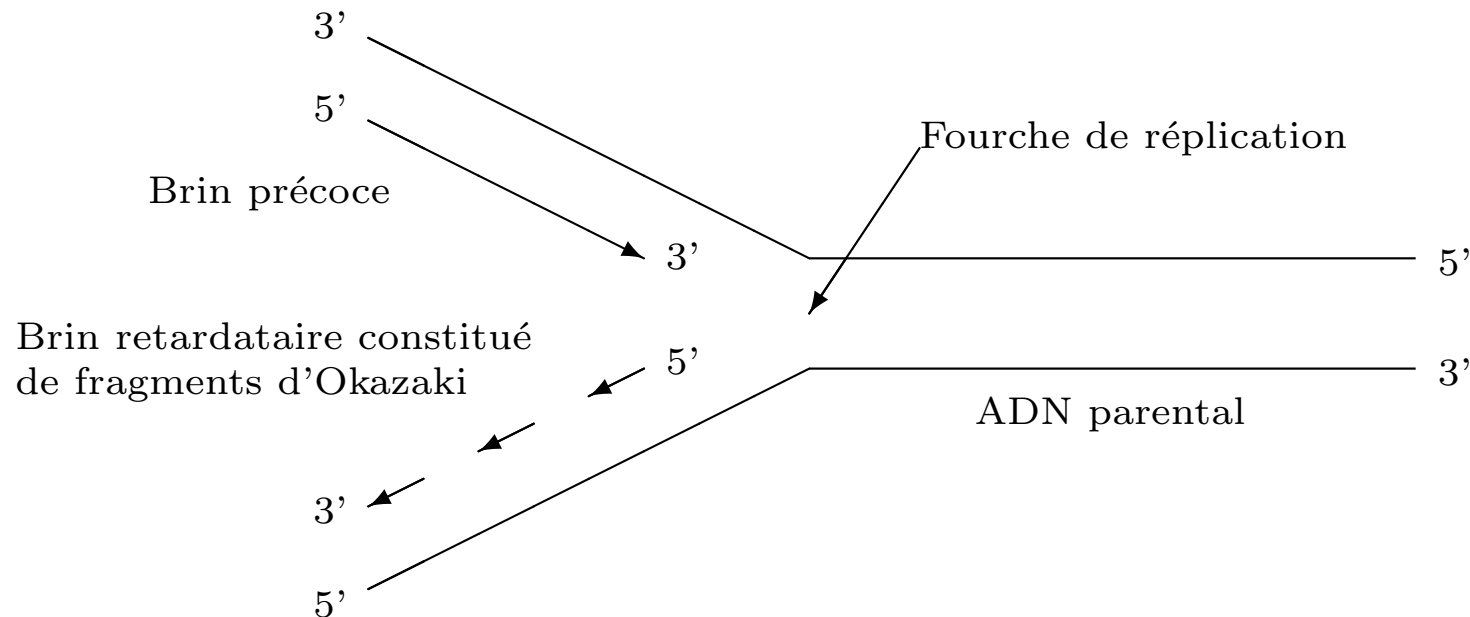
Laboratoire de Mathématiques Appliquées de Lyon  
INSTITUT NATIONAL DES SCIENCES APPLIQUÉES DE LYON

# 1 Composition d'un ADN

- très longue molécule constituée de deux chaînes polynucléotidiques complémentaires ;
- conformation bicaténaire hélicoïdale ;
- bases : adénine ( $A$ ), cytosine ( $C$ ), guanine ( $G$ ), thymine ( $T$ ) ;
- bases complémentaires :  $A \longleftrightarrow T$ ,  $C \longleftrightarrow G$  .

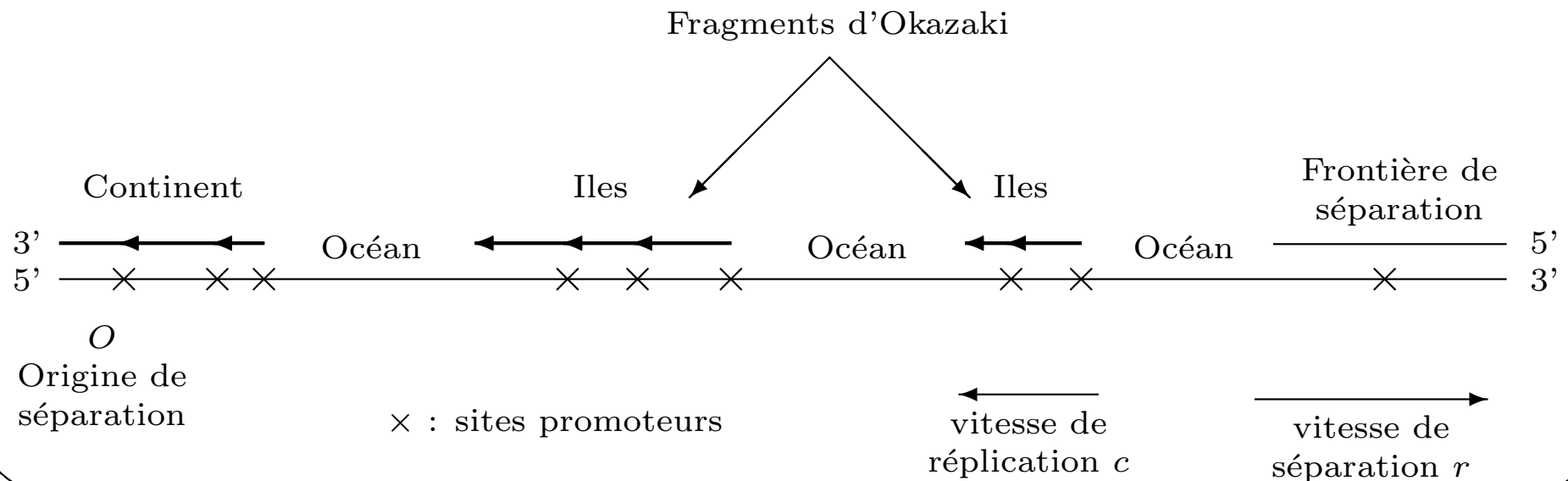
## 2 Processus de réplication d'un ADN

- *phase de dénaturation* : les deux brins sont séparés après élévation de la température ;
- *phase d'hybridation* : les deux brins sont répliqués à l'aide d'une ADN polymérase ;
  - brin précoce : réplication continue dans le sens de la séparation ;
  - brin retardataire : réplication discontinue dans le sens contraire de la séparation → fragments d'Okazaki (1968).



Le brin retardataire est constitué de deux parties :

- un brin (le *continent*) obtenu par concaténation depuis l'origine de tous les fragments qui sont liés à leurs voisins de gauche ;
- les segments restants qui ne sont pas encore reliés au continent, ce sont les *fragments d'Okazaki* (les *îles*). Les interstices entre ces fragments constituent l'*océan*.



### 3 Modèle probabiliste de Cowan & Chiu (1994)

Les sites promoteurs sont répartis selon un processus de Poisson spatial d'intensité  $\mu$ , ou encore un processus de Poisson temporel d'intensité  $\lambda = r\mu$ .

#### Références

- [1] R. Cowan and S.N. Chiu. Stochastic model of fragment formation when DNA replicates, *J. Appl. Prob.* 31 (1994), 301–308.
- [2] R. Cowan. Stochastic models for DNA replication, in *The Handbook of Statistics*, Vol. 20, 2001.
- [3] D. Piau. Quasi-renewal estimates, *J. Appl. Prob.* 37 (2000), 269–275.
- [4] A. Lachal. Quelques lois de probabilités associées à un modèle de réplication d'un ADN, *C.R.A.S.* 336 (2003), 175–180.
- [5] A. Lachal. Some probability distributions in modelling DNA replication, *Ann. Appl. Prob.* 13 (2003).

## Quelques v.a. intéressantes

- $N_t$  : nombre de fragments d'Okazaki existant à l'instant  $t$  ;
- $D_t$  : distance entre la frontière de séparation et l'extrémité droite du continent à l'instant  $t$  ;
- $P_t$  : longueur totale des nouveaux morceaux d'ADN à l'instant  $t$  (continent inclus) ;
- $\tilde{P}_t = rt - P_t$  : longueur totale des interstices entre les fragments d'Okazaki à l'instant  $t$ .

*Problème : lois des v.a.  $N_t$ ,  $D_t$  et  $\tilde{P}_t$  ?*

## Résultats connus (1994, 2000)

- Cowan & Chiu ont calculé, à l'aide de la théorie du renouvellement :
  - *le nombre moyen asymptotique de fragments d'Okazaki*

$$\lim_{t \rightarrow +\infty} \mathbb{E}(N_t) = \lambda\delta + \frac{r}{c};$$

- *la longueur moyenne asymptotique des interstices*

$$\lim_{t \rightarrow +\infty} \mathbb{E}(\tilde{P}_t) = \frac{r(r+c)}{\lambda c}.$$

- Piau a calculé à l'aide d'une équation de quasi-renouvellement :
  - *la distance moyenne asymptotique séparation-continent*

$$\lim_{t \rightarrow +\infty} \mathbb{E}(D_t) = r\delta + \frac{r+c}{\lambda} \sum_{n=1}^{\infty} \sigma(n) \left( \frac{r}{r+c} \right)^n$$

où  $\sigma(n)$  est le nombre de diviseurs de  $n$ .

## 4 Nouveaux résultats (A.L. 2002)

Soit  $\varphi(t) = \mathbb{E}(e^{-\alpha N_t})$ ,  $\psi(t) = \mathbb{E}(e^{-\alpha \tilde{P}_t})$  et  $\chi(t) = \mathbb{E}(e^{-\alpha D_t})$ .

On pose  $a = \frac{c}{r+c}$ ,  $b = \frac{r}{r+c}$  et  $Q_n(b) = \prod_{k=1}^n (1 - b^k)$ .

### Théorème 1 (Régime transitoire)

$$\varphi(t) = \begin{cases} e^{-\lambda(1-e^{-\alpha})t} & \text{si } 0 \leq t \leq \delta, \\ e^{-\lambda\delta(1-e^{-\alpha})} \sum_{n=0}^{\infty} \prod_{k=1}^n [1 - (1 - e^{-\alpha})b^k] e^{-\lambda(t-\delta)} \frac{[\lambda(t-\delta)]^n}{n!} & \text{si } t \geq \delta; \end{cases}$$

$$\chi(t) = \begin{cases} e^{-r\alpha t} & \text{si } 0 \leq t \leq \delta, \\ e^{-r\delta\alpha} \sum_{n=0}^{\infty} \left[ \sum_{k=0}^n \frac{Q_n(b)}{Q_k(b)} \left(b - \frac{r\alpha}{\lambda}\right)^k \right] e^{-\lambda(t-\delta)} \frac{[\lambda(t-\delta)]^n}{n!} & \text{si } t \geq \delta. \end{cases}$$

## Théorème 2 (Régime stationnaire)

$$\lim_{t \rightarrow +\infty} \varphi(t) = e^{-\lambda\delta(1-e^{-\alpha})} \prod_{n=1}^{\infty} [1 - (1 - e^{-\alpha})b^n],$$

$$\lim_{t \rightarrow +\infty} \psi(t) = \prod_{n=0}^{\infty} \left[ 1 + \frac{r\alpha}{\lambda} b^n \right]^{-1},$$

$$\lim_{t \rightarrow +\infty} \chi(t) = e^{-r\delta\alpha} \prod_{n=1}^{\infty} \left[ 1 + \frac{r\alpha}{\lambda} \frac{b^{n-1}}{1 - b^n} \right]^{-1}.$$

# Fonctions de la théorie des partitions : $q$ -séries

Référence : G. Andrews. The theory of partitions, in Encyclopedia of Mathematics and Its Applications, Vol. 2, 1976.

$$\text{Soit } Q_n(q) = \prod_{k=1}^n (1 - q^k).$$

Formules d'Euler :

$$\prod_{n=0}^{\infty} (1 - zq^n)^{-1} = \sum_{n=0}^{\infty} \frac{1}{Q_n(q)} z^n,$$

$$\prod_{n=0}^{\infty} (1 + zq^n) = \sum_{n=0}^{\infty} \frac{q^{n(n-1)/2}}{Q_n(q)} z^n.$$

Formules de Rothe :

$$\prod_{k=0}^n (1 - zq^k)^{-1} = \sum_{k=0}^{\infty} \frac{Q_{n+k}(q)}{Q_n(q)Q_k(q)} z^k,$$

$$\prod_{k=0}^{n-1} (1 + zq^k) = \sum_{k=0}^n \frac{Q_n(q)q^{k(k-1)/2}}{Q_k(q)Q_{n-k}(q)} z^k.$$

**Théorème 3 (Décomposition)** Les v.a.  $N_t$ ,  $\tilde{P}_t$  et  $D_t$  convergent en loi lorsque  $t \rightarrow +\infty$  vers les v.a.  $N_\infty$ ,  $\tilde{P}_\infty$ ,  $D_\infty$  données par

$$N_\infty = \sum_{n=0}^{\infty} X_n, \quad \tilde{P}_\infty = \sum_{n=0}^{\infty} Y_n \quad \text{et} \quad D_\infty = r\delta + \sum_{n=1}^{\infty} Z_n$$

où

- $X_0$  est une v.a. de Poisson  $\mathcal{P}(\lambda\delta)$ ,  
 $(X_n)_{n \geq 1}$  est une suite de v.a.i. de Bernoulli  $\mathcal{B}(b^n)$  indépendantes de  $X_0$  ;
- $(Y_n)_{n \geq 0}$  est une suite de v.a.i. exponentielles  $\mathcal{E}(\lambda/(rb^n))$  ;
- $(Z_n)_{n \geq 1}$  est une suite de v.a.i. exponentielles  $\mathcal{E}((\lambda b/r) \times (1/b^n - 1))$ .

**Corollaire 4 (Moyennes, variances, moments)**

$$\bullet \quad \mathbb{E}(N_\infty) = \lambda\delta + \frac{r}{c}, \quad \text{var}(N_\infty) = \lambda\delta + \frac{r(r+c)}{c(2r+c)};$$

$$\bullet \quad \mathbb{E}(\tilde{P}_\infty) = \frac{r(r+c)}{\lambda c}, \quad \text{var}(\tilde{P}_\infty) = \frac{r^2(r+c)^2}{\lambda^2 c(2r+c)},$$

$$\mathbb{E}(\tilde{P}_\infty^n) = \frac{n!}{Q_n(b)} \left(\frac{r}{\lambda}\right)^n;$$

$$\bullet \quad \mathbb{E}(D_\infty) = r\delta + \frac{r}{\lambda b} \sum_{n=1}^{\infty} \frac{b^n}{1-b^n} = r\delta + \frac{r}{\lambda b} \sum_{n=1}^{\infty} \sigma_0(n) b^n,$$

$$\text{var}(D_\infty) = \left(\frac{r}{\lambda b}\right)^2 \sum_{n=1}^{\infty} \left(\frac{b^n}{1-b^n}\right)^2 = \left(\frac{r}{\lambda b}\right)^2 \sum_{n=1}^{\infty} [\sigma_1(n) - \sigma_0(n)] b^n$$

avec  $\sigma_0(n) = \#\{k : k | n\}$  et  $\sigma_1(n) = \sum_{k|n} k$ .

## 5 Indications de preuve

- *équations de renouvellement* ;
- *équations de quasi-renouvellement* ;
- *équations différentielles fonctionnelles*.

### Proposition 5

$$\varphi(t) = \lambda e^{-\alpha} \int_0^t \varphi(t-s) e^{-\lambda s} ds + \lambda(1 - e^{-\alpha}) \int_0^{a(t-\delta)^+} \varphi(t-s) e^{-\lambda s} ds + e^{-\lambda t},$$

$$\psi(t) = \lambda \int_0^{at} \psi(t-s) e^{-\lambda s} ds + \lambda e^{c\alpha t} \int_{at}^t \psi(t-s) e^{-(\lambda+r\alpha/b)s} ds + e^{-(\lambda+r\alpha)t},$$

$$\chi(t) = \lambda \int_0^{a(t-\delta)^+} \chi(t-s) e^{-\lambda s} ds + e^{-(\lambda a+r\alpha)t+\lambda a\delta}.$$

DÉMONSTRATION. — Soit  $T_1$  l'instant auquel apparaît le premier site promoteur.

$T_1$  suit la loi exponentielle  $\mathcal{E}(\lambda)$ . En conditionnant par  $\{T_1 = s\}$  :

- si  $t < s$ ,  $N_t = 0$ ,
- si  $t \geq s$ ,  $N_t \stackrel{\text{loi}}{=} \begin{cases} N_{t-s} & \text{si } 0 \leq s \leq a(t - \delta)^+, \\ N_{t-s} + 1 & \text{si } s > a(t - \delta)^+. \end{cases}$

Puis

$$\varphi(t) = \int_0^\infty \varphi(t | s) \lambda e^{-\lambda s} ds$$

$$\text{avec } \varphi(t | s) = \mathbb{E}(e^{-\alpha N_t} | T_1 = s) = \begin{cases} \varphi(t - s) & \text{si } 0 \leq s \leq a(t - \delta)^+, \\ e^{-\alpha} \varphi(t - s) & \text{si } a(t - \delta)^+ < s \leq t, \\ 1 & \text{si } s > t. \end{cases}$$

## 5.1 La v.a. $N_t$ , nombre de fragments d'Okazaki

- Sur  $[0, \delta]$ ,  $\varphi$  vérifie une équation de renouvellement ordinaire ;
- sur  $[\delta, +\infty[$ , la fonction  $\tilde{\varphi}(t) = e^{\lambda t} \varphi(t + \delta)$ ,  $t \geq 0$  vérifie une équation différentielle fonctionnelle.

### Lemme 6

$$\frac{d\tilde{\varphi}}{dt}(t) - \lambda\tilde{\varphi}(t) + \lambda(1 - e^{-\alpha})b\tilde{\varphi}(bt) = 0 \quad \text{avec} \quad \tilde{\varphi}(0) = e^{-\lambda\delta(1-e^{-\alpha})}.$$

### Proposition 7 (Solution)

$$\tilde{\varphi}(t) = \sum_{n=0}^{\infty} \varphi_n \frac{(\lambda t)^n}{n!} \quad \text{avec} \quad \varphi_n = e^{-\lambda\delta(1-e^{-\alpha})} \prod_{k=1}^n [1 - (1 - e^{-\alpha})b^k].$$

### Corollaire 8

$$\lim_{t \rightarrow +\infty} \varphi(t) = \lim_{t \rightarrow +\infty} \tilde{\varphi}(t)e^{-\lambda t} = e^{-\lambda\delta(1-e^{-\alpha})} \prod_{k=1}^{\infty} [1 - (1 - e^{-\alpha})b^k].$$

## 5.2 La v.a. $D_t$ , distance séparation-continent

- Sur  $[0, \delta]$ ,  $\chi$  vérifie une équation de renouvellement ordinaire ;
- sur  $[\delta, +\infty[$ , la fonction  $\tilde{\chi}(t) = e^{\lambda t} \chi(t + \delta)$ ,  $t \geq 0$  vérifie une équation différentielle fonctionnelle.

### Lemme 9

$$\frac{d\tilde{\chi}}{dt}(t) - \lambda\tilde{\chi}(t) + \lambda b\tilde{\chi}(bt) = \lambda\rho e^{(\lambda b - r\alpha)t - r\delta\alpha} \quad \text{avec} \quad \tilde{\chi}(0) = e^{-r\delta\alpha}.$$

### Proposition 10 (Solution)

$$\tilde{\chi}(t) = \sum_{n=0}^{\infty} \chi_n \frac{(\lambda t)^n}{n!} \quad \text{avec} \quad \chi_n = e^{-r\delta\alpha} \sum_{k=0}^n \frac{Q_n(b)}{Q_k(b)} \left(b - \frac{r\alpha}{\lambda}\right)^k.$$

### Corollaire 11

$$\lim_{t \rightarrow +\infty} \chi(t) = \lim_{t \rightarrow +\infty} \tilde{\chi}(t) e^{-\lambda t} = e^{-r\delta\alpha} \prod_{n=1}^{\infty} \left[ 1 + \frac{r\alpha}{\lambda} \frac{b^{n-1}}{1 - b^n} \right]^{-1}.$$

### 5.3 La v.a. $\tilde{P}_t$ , longueur des interstices

Soit  $\tilde{\psi}(t) = \psi(t)e^{\lambda t}$ ,  $t \geq 0$ .

#### Lemme 12

$$\begin{cases} \frac{d^2 \tilde{\psi}}{dt^2}(t) + (r\alpha - \lambda) \frac{d\tilde{\psi}}{dt}(t) - \lambda r\alpha \tilde{\psi}(t) + \lambda br\alpha \tilde{\psi}(bt) = 0, \\ \tilde{\psi}(0) = 1, \quad \frac{d\tilde{\psi}}{dt}(0) = \lambda - r\alpha. \end{cases}$$

#### Proposition 13 (Solution)

$$\tilde{\psi}(t) = \sum_{n=0}^{\infty} \psi_n \frac{(\lambda t)^n}{n!} \text{ avec } \begin{cases} \psi_{n+2} + \left(\frac{r\alpha}{\lambda} - 1\right) \psi_{n+1} - \frac{r\alpha}{\lambda} (1 - b^{n+1}) \psi_n = 0, \\ \psi_0 = 1, \quad \psi_1 = \lambda + r\alpha. \end{cases}$$

## 5.4 La v.a. $\tilde{P}_\infty$

Transformée de Laplace :  $L\psi(p) = \int_0^\infty e^{-pt} \psi(t) dt.$

On a

$$\lim_{t \rightarrow +\infty} \psi(t) = \lim_{p \rightarrow 0^+} pL\psi(p).$$

### Lemme 14

$$L\psi(p) = \frac{p + \lambda}{p(p + \lambda + r\alpha)} - \frac{\lambda r\alpha}{p(p + \lambda + r\alpha)} L\psi\left(\frac{p + \lambda a}{b}\right).$$

### Corollaire 15

$$\lim_{t \rightarrow +\infty} \psi(t) = \frac{\lambda}{\lambda + r\alpha} [1 - r\alpha L\psi(\lambda a/b)].$$

### Proposition 16

$$L\psi(\lambda a/b) = \frac{1}{r\alpha} \left[ 1 - \prod_{n=1}^{\infty} \left( 1 + \frac{r\alpha}{\lambda} b^n \right)^{-1} \right].$$

## 6 Distance inter-sites promoteurs

Cowan & Chiu introduisent le rapport

$$R = \frac{\text{longueur moyenne des fragments d'Okazaki}}{\text{distance moyenne inter-sites promoteurs}} = \frac{\mathbb{E}(L_\infty)/\mathbb{E}(N_\infty)}{1/\mu}$$

avec

$$L_\infty = D_\infty - \tilde{P}_\infty.$$

*Problème : estimation du paramètre  $\mu$  ?*

**Proposition 17**

$$R = \left[ \lambda\delta - \frac{r}{c} - 1 + \sum_{n=1}^{\infty} \sigma(n) \left( \frac{r}{r+c} \right)^{n-1} \right] / \left[ \lambda\delta + \frac{r}{c} \right].$$

## Expériences

$$\frac{\mathbb{E}(L_\infty)}{\mathbb{E}(N_\infty)} \sim \begin{cases} 150 \text{ bases pour les eucaryotes} \\ 1500 \text{ bases pour les procaryotes} \end{cases}$$

$$\frac{c}{r} \sim \begin{cases} 0,6 \text{ pour les eucaryotes} \\ 6.10^{-3} \text{ pour les procaryotes} \end{cases}$$

Cas  $\delta = 0$  :

$$R \sim \begin{cases} 1,48 \text{ pour les eucaryotes} \\ 4,77 \text{ pour les procaryotes} \end{cases} \implies \frac{1}{\mu} \sim \begin{cases} \frac{150}{1,48} = 101 \text{ pour les eucaryotes} \\ \frac{1500}{4,77} = 314 \text{ pour les procaryotes} \end{cases}$$

$\implies$  *Un site promoteur devrait avoir un motif de 4 bases invariantes.*

Les sites seraient espacés de  $4^4 = 256$  bases en moyenne ( $256 \in [101; 314]$ ) ;  
 pour un motif de 3 bases, on aurait  $4^3 = 64 \notin [101; 314]$  ;  
 pour un motif de 5 bases, on aurait  $4^5 = 1024 \notin [101; 314]$ .